

EL YACIMIENTO AL AIRE LIBRE DE EL CORRAL BLANC (LA POBLA TORNESA, CASTELLON).

ESTUDIO ANALITICO

FRANCESC GUSI

JOSEP CASABO

LOCALIZACION GEOGRAFICA

El yacimiento se encuentra en la partida conocida como el Corral Blanc, dentro del término municipal de la Poblada Tornesa, en el extremo SSE del Pla de Vilafamés. Se asienta sobre areniscas Triásicas del Bundsandstein medio,¹ a una altitud media de 300 m.s.n.m., ubicado en un pequeño campo allanado para el cultivo del almendral, extendiéndose por la ladera SSE de les Serretes, pequeña elevación montañosa de orientación NNW-SSE, cuya cota máxima alcanza los 303 m. entre afloraciones de areniscas con cemento silíceo de color pardo rojizo y limonitas.

Las areniscas han sufrido una acción erosiva de tipo mecánico y químico, lo cual ha producido un manto de arenas de fracción fina, trasladado posiblemente por la acción eólica a determinados puntos de la zona, donde se han sedimentado y fijado posteriormente por la propia cobertura vegetal.

Al este del cerro, en su parte baja, se aprecia entre las arcillas y arenas cuaternarias, una pequeña depresión endorreica residual, escasamente acentuada, con relación a los terrenos circundantes, conocida como Les Llacunes, la cual funcionaría como una pequeña zona lacustre en los períodos de fuerte pluviosidad.

Dentro de este mismo contexto geográfico-geológico se sitúan diversos asentamientos, la mayoría de ellos al aire libre, cuya distribución espacial se centra en torno a dos unidades geomorfológicas naturales, El Pla de Vilafamés-Cabanes y el glacis costero de La Plana; entre estos yacimientos podemos citar como ejemplo Salandó en la vertiente litoral, y el Pla de la Pitja ubicado en el corredor prelitoral interior (Figura 1).

1. Mapa I. G. C. n.º 616, Vilafamés. E: 1/50.000.

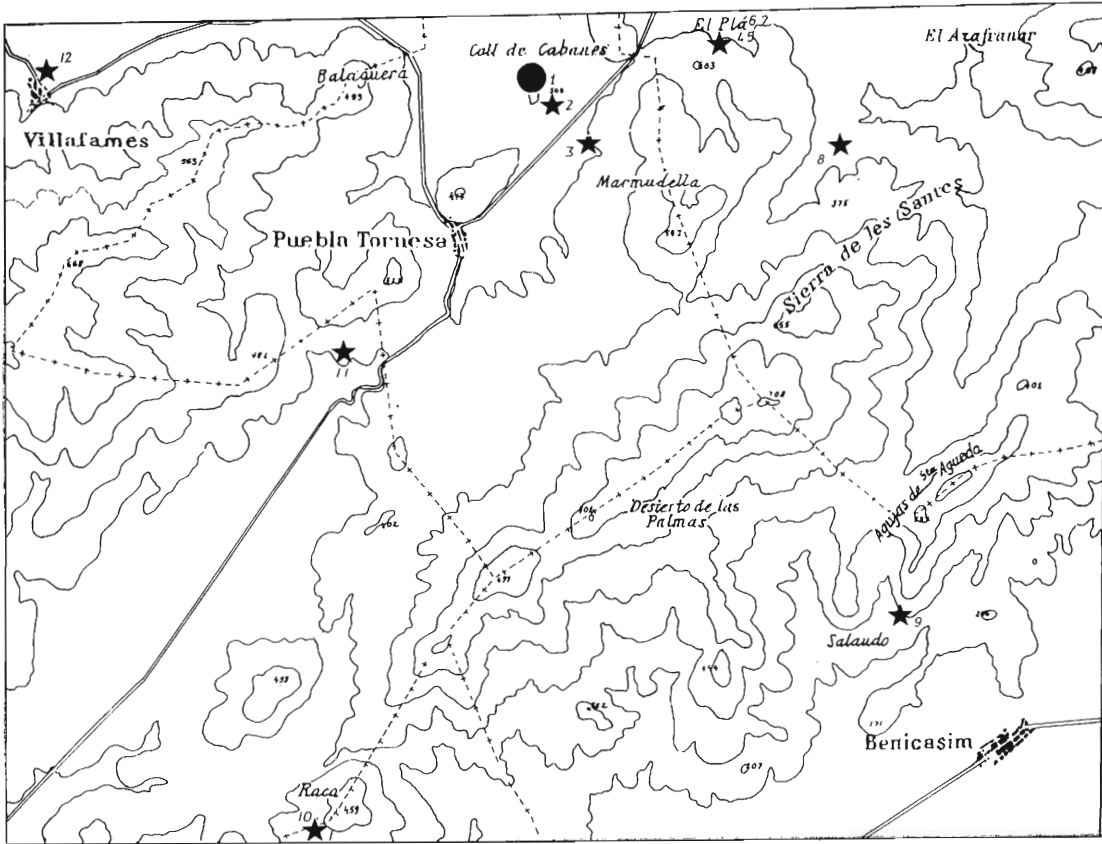


Fig. 1. Principales yacimientos al aire libre de la zona: 1. Corral Blanc; 2. Les Llacunes; 3. Pla de la Pitja; 4, 5, 6 y 7. Coll de Cabanes; 8. Barranc de Les Santes; 9. Salandó; 10. Raca; 11. Costes de La Pobra; 12. Barranc d'en Gil.

ANÁLISIS DE LA INDUSTRIA LÍTICA

En el Corral Blanc se recogieron 3.068 útiles y fragmentos de sílex, que se reparten del siguiente modo:

E	=	2.278 (74,25 %)	*
ER	=	459 (14,96 %)	
N	=	191 (6,22 %)	
IN	=	130 (4,23 %)	
OT	=	9 (0,29 %)	
CT	=	1 (0,03 %)	

El índice E/ER, expresa la relación entre los productos de lascado y las piezas retocadas propiamente dichas, es decir, indica cuántos E hay por cada ER. Su valor es de 4,96, casi la mitad que el obtenido en el Pla de la Pitja, hecho que indicaría una mayor presencia de piezas retocadas en el Corral Blanc.

El índice E+ER/N es de 14,33, por tanto existen gran cantidad de núcleos en relación con los productos de lascado.

* Los productos de la técnica de desbastamiento, los hemos dividido de la siguiente manera: E = Piezas de lascado; ER = Piezas de lascado retocadas; N = Núcleos; IN = Piezas informes; OT = fragmentos de origen térmico; CT = Canto tallado.

— Análisis morfológico.

		L	I	e	tal	
1.	G11 • G11	bitrans Spd cx dist. Spd r (cx)prox.	20	11	6	t
2.	G22	sen Spd sin dix + dist eSpd—Spd cx—eSpd + dex Spd r	27	22	7	f
3.	G11	dist Spd cx	27	23	4	c
4.	G12—D11	dist Spd cx + dex eSmi med prox cvg	33	16	10	t
5.	G311	dist Spd cx	37	26	19	f
6.	G312	sen Spi r div + Spd cx + Spd r div	22	21	11	p
7.	G12	sen Spd r cvg + dist Spd cx + dex Smd r cvg	17	14	6	f
8.	G12	sen Spd cx cvg + dist Spd cx + dex Spd cx cvg	17	19	9	f
9.	G11	prox Smd cx	17	10	3	t
10.	G21	bilat Spd cx div • Smd cx div	19	18	4	t
11.	G11	dist Spd r(cx)	12	14	6	f
12.	G22	sen Smd r(cc)cvg + dist Smd cx + dex Smi r (cc)	23	21	9	p
13.	G11	dist Spd cx	17	19	9	f
14.	G12	sen Spd r + dist Spd cx + dex Spd r cvg—eSpd med	15	11	4	p
15.	G11	dist Smd cx	21	21	3	f
16.	G12	dist Spd cx + dex Spd r	27	23	11	p
17.	G12	sen Smd cx med dist cvg + dist Spd cx + sen eSpd r med prox	35	30	9	p
18.	G322	sen eSpd med dist + dist Spd cx	23	18	9	f
19.	G312—B11	dist Spd cx + dex Spd r cvg + Bpn	34	32	17	t
20.	G322 + B21	sen eSpd dist cvg + dist Spd r(cx) + dex Spd r—Spd r div + prov Bpn	40	26	13	t
21.	D13	sen dSmd sin	45	20	6	p
22.	D23	sen dSpd sin	30	18	11	p
23.	D21	dex eSpd med	20	18	4	c
24.	D21	sen eSpi prox med	31	25	11	p
25.	D325	sen dSpd sin med dist cvg + dist dSpd cx sin + dex eSpd dist med cvg	31	40	16	p
26.	D22	sen eSpd prox med div—eSpd dist cvg	26	15	7	f
27.	D22	dex eSpd dist med cvg—eSpd med prox div	19	25	9	f
28.	D21 • D21	bilat eSpd med dist cvg • eSpd prox div	36	24	10	l
29.	D21	sen eSpd dist cvg	20	23	9	f
30.	D11	dex eSmd prox med div	16	22	3	p
31.	D21	dex eSpi med dist	28	22	7	u
32.	D13	dist dSma r(cx)dex	28	42	12	f
33.	D13	dist dSmd r	21	23	11	p
34.	D13	dist dSmd r(cx)	19	13	6	f
35.	D12	dist eSmd sen—eSpd dex	14	23	12	f
36.	D24	bilat dSpd sin cvg • eSpd dist med cvg	25	23	10	f
37.	D23	sen dSpd r div	32	20	14	f
38.	D325	dist dSpd r(cx) sin + dex dSpd r dist med cvg	24	16	10	g
39.	D325	sen eSpd prox med div—eSpd med dist cvg + dist dSpd cx—eSpd dex + eSpd dist med—eSpd med prox div	31	29	14	p
40.	R21	dex Spd r cvg	59	46	16	p
41.	B11 + R23	dist Spd r (cx) sen—(e)Smd—Bpn + Smd med prox	42	46	20	p
42.	R11	dex Smd r (div)	31	14	6	p
43.	R21	dex Spd r(cx) cvg	23	30	8	f
44.	D11	dex eSmi dist	24	12	3	f
45.	R11	dex Smd r dist cvg	43	15	6	p
46.	R321	dex Spd r(cx)	23	16	9	p
47.	D11 • R11	bilat eSmd prox • Smi med prox	31	11	4	f
48.	R21	dex Spd cx	18	12	3	u
49.	R11	dex Smd cx cvg	26	24	8	c
50.	R11	sen Smd r div	14	13	5	f
51.	R21	dex Spb cx dist—Spb(cc) med prox	24	24	12	p
52.	R11	dex Smd r med	20	14	8	f
53.	R11	dex Smmd r (cc)	21	21	10	f
54.	R21	dex Spi r dist med cvg	27	18	11	f
55.	R21	sen Spd r prox med	23	15	6	f
56.	R11	dex Smd r dist med	28	15	6	u
57.	R12	dist Smd cx sen—Smd cc dex	19	22	7	d
58.	R11	dex S(P)mi r	20	10	5	f
59.	R21	sen Spi r (cx) div	15	23	11	f
60.	E1	bitrans dist Epb cx • prox Epb r	40	35	17	t
61.	E1	prox Emi r	27	21	7	t

		L	I	e	tal	
62.	E1	bitrans dist Epi r • Emi r	21	21	8	t
63.	E1 + R11	dex Smd r med div + prox Epi r(cx)	18	22	7	t
64.	PD23	sen Apb r cvg • dex Smi r dist cvg	20	6	4	f
65.	P11	bilat sen Smi r dist cvg • dex Smb r dist—Smi cx prox cvg	15	8	2	f
66.	T21	prox Apd r	9	12	2	t
67.	B11 • LD21	sen Bpn • dex Apd r	20	9	5	p
68.	LD21	sen Apd r	13	17	3	f
69.	LD21	sen Apd r(cx)	14	9	4	u
70.	LD21	dex Apb r	14	4	3	f
71.	LD21	dex Apd r(cx)	12	5	2	f
72.	LD21	sen Apb r	12	5	3	f
73.	BT1	sen Apd cx + Apd cx • prox Apd cx cvg	15	9	2	t
74.	B431	sen Smd cx prox med—Bpn dist • dex Bpn dist med	48	33	10	p
75.	B32	dis Bpn + dex Bpn dist med	30	38	19	f
76.	B32	sen Bpn dist + Bpn dist sen	28	39	10	d
77.	B31	bilat Bmn med dist • Bpn dist med	27	31	13	f
78.	B22	dist Apd cc + Bpn dist med	21	17	11	f
79.	B11	sen Bpn dist	20	17	8	c
80.	B11	dex Bmn dist	28	12	5	f
81.	B11	dex Bpn prox	16	12	4	f
82.	F315	sen Pppb cx cvg + dist Pppb cx + dex P(S)ppb cx	24	27	15	f
83.	F315	sen Pppb cx cvg + dist Pppb cx + dex Pppb cx	32	36	16	p
84.	F313	dex Ppb r	14	11	4	f
85.	F314	sen Pppb r—Pppb cx + dist Pppb cx + dex Pppb cx—Pppb r	24	13	6	f
86.	B31—B21	sen Apd r—Bpn • Bpn dist med + Bpn prox	31	16	13	t
87.	D11	dex Smi r dist	11	12	5	f
88.	D13	sen dSmd sin med	15	14	4	f
89.	E1	bitrans dist Epi r • prox Emb r	25	32	9	t
90.	A1	sen Amd r med dist cvg	11	14	2	f
91.	T12	dist Amd r cvg	10	13	4	t
92.	E1	prox Epb r	17	16	5	t
93.	D11	dex eAmi r dist cvg	19	10	9	f
94.	T11	dist Amd r	13	10	5	g
95.	R11	dex Smd cx r(cvg)	18	21	8	f
96.	D11	dist eSmd dex cvg	14	15	5	f
97.	R11	sen Smmd cx r(cvg)	21	19	12	f
98.	G12	dist Spd cx + dex Spd cx dist cvg	18	10	3	f
99.	R11	dex Smd r	16	9	2	f
100.	R11 • R21	bilat Smi r med • Spi r dist med—Spi r prox div	23	15	6	l
101.	D13	dex dSma r div	59	37	12	f
102.	R11	sen Smd r med dist	26	20	4	p
103.	G12	sen Smd r div • dex Smd r (cc) div + Spd r	14	17	4	t
104.	R21 • R21	bilat Spi r med div cvg • Spd cx med prox div	36	22	8	p
105.	G12	sen Smi r dist cvg + dist Spd cx	32	20	5	f
106.	G12	dist Spd cx + dex Smd cx	16	16	4	p
107.	R11 • R11	bilat Smd cc • Smd r (cx)	27	15	7	f
108.	D23	dex dSpa sin	17	22	7	f
109.	R12	dist Smd cx	14	12	5	p
110.	D21	sen eSpd prox med	29	12	4	p
111.	D13	dex dSmd dist cvg	32	18	6	f
112.	R11	dex Smd r (cc) dist med	20	11	4	f
113.	D21	sen eSpa med	16	11	4	u
114.	D11	sen eSmd dist	13	9	2	f
115.	A2	sen Apd prox div	13	11	2	f
116.	R11 • D11	bilat eSmi prox med • Smi r med prox	17	13	4	f
117.	G12 • G12	dist Spd r(cx) + dSmd r div + Smd r(cx)	21	14	5	t
118.	PD21	sen Apd r med dist cvg	32	20	6	p
119.	B22 • B21	sen Apb cx prox med div + Apd cx dex + Bpn dist med —Bpn med prox	27	8	7	t
120.	D23 • D21	bilat dSpd med div • eSpd dist med	22	11	3	a
121.	B12—P21—B12	sen Bmn prox—Spd r med dist cvg • Spd r(cx) dist med—Bmn prox	30	23	6	f
122.	R11	dex Smd r dist	24	10	3	p
123.	R11 • R11	bilat Smd r cvg • Smi r	14	10	3	f
124.	D11	dex eSmd med	11	8	2	f
125.	G12	sen Spd cx dix + dist Spd cx + dex Spd r	15	20	5	f

			L	I	e	tal
126.	R21	dex Spd cx	15	17	6	p
127.	F314	bilat Ppb r cvg • Ppb r cvg	f 9	8	4	f
128.	G12	sen Spd r med dist+dist Spd cx+dex Smm d r med prox	22	15	7	f
129.	D13	sen dSmd r prox — med	19	11	3	a
130.	P21	bilat Spd r cvg • Spi r cvg	15	8	3	f
131.	R21	Spi cx div	16	9	3	u
132.	PD23	sen Apd r cvg	19	9	4	f
133.	PD23	sen Apb r	22	6	3	l
134.	PD34	sen Apd r • dSpd r cvg dist — med — Apd cc prox	28	9	3	a
135.	BT22	bitrans Apd r cvg • Apd r div	21	16	4	t
136.	BPD21	sen Apa r prox med div — Apd r med dist cvg	24	11	3	t
137.	F314	bilat Ppb r cvg • Ppb r cvg	14	11	4	l
138.	F314	bilat Ppb r prox div — Ppb r med dist cvg • Ppb r dist med cvg — Ppb r prox div	18	13	5	f
139.	F323	bilat Ppb r prox div — ePpb med — ppb r med dist cvg • Ppb r dist med cvg — ePpb med prox	26	21	6	f
140.	F11	dex Pmd r	16	18	3	f
141.	G11	dist Spd cx	15	14	6	f
142.	R11	sen Smd r	17	10	5	f
143.	R11 • D11	bilat Smd r • eSmd med	20	12	4	f
144.	D23	sen dSpi r div	27	14	5	p
145.	G12	sen Smd = Ppb + dist Spd cx + dex Spa cx div	17	23	6	f
146.	R11	sen Smi r cvg	27	16	7	f
147.	P11	bilat Sma cx med dist cvg • Smi r dist med cvg	39	24	7	p
148.	R11	dex Smd r (cx)	48	15	5	p
149.	G11	dist Spd cx sen	40	29	7	f
150.	R11 • R11	bilat Smi r cvg • smd r dist med — Smd cc med prox	25	22	8	l
151.	R21 • D21	bilat Spi cc div • eSpd r med prox	34	19	7	c
152.	P21 • G12	sen Spd cx div + Spd cx + Spd sin div	25	13	6	t
153.	P21	bilat Spi r dist cvg • Spd r dist med cvg	27	18	5	p
154.	R11 • R21	bilat Smd r • Spd r	19	11	4	d
155.	R11	sen Sma cc	22	16	5	f
156.	F114	sen Ppd cx • dex Ppd cx + prox Ppd cx	22	16	6	t
157.	F323	bilat Ppb r div • Ppb r div	f 15	11	7	f
158.	R11	dex Smd r	28	11	5	f
159.	G11	dist Spd cx	14	11	4	p
160.	G11	dist Spd cx	21	18	5	f
161.	F314	bilat Ppb cx • Ppb cx	23	13	4	t
162.	F315	sen Pp b cx + dist Ppb cx + dex Ppb cx	39	28	11	f
163.	G11	dist Spd cx	23	16	4	f
164.	R11	sen Smi sin	25	17	3	l
165.	R21	dex Spi cx med prox	42	16	9	p
166.	R21 • R21	bilat spd cx • Sp(m)d r	22	19	7	p
167.	PD34	sen Apd cc prox med -- Apd r med dist cvg • S(A)pd r (cc) cvg	39	16	15	u
168.	G11	dist Spd cx	40	16	3	f
169.	G12	sen Smd cx med dist cvg + Spd cx + Smm d cx dist med cvg	37	27	6	u
170.	G11	dist Spd cx	21	19	6	p
171.	G11	dist Spd cx	29	21	6	u
172.	G12 (G22)	sen S(A)mmd r med — e Smd dist + Spd cx(r) S(A)pd r dist med	28	24	7	f
173.	G312	dist Spd cx + dex Smm d r dist med cvg	29	28	16	p
174.	D21	dex eSpd dist	25	17	2	p
175.	G11	dist Spd cx	19	26	11	f
176.	G11	dist Spd cx	29	14	7	f
177.	G12	sen smd cc dist cvg + dist spd cx(r)	16	19	11	f
178.	G322	sen eS(A)pd r dist cvg + dist S(A)pd r + dex Apd cc dist cva — S(A)pd r med prox cvg	40	32	24	—
179.	G11	dist Sp(m)d cx	30	32	12	p
180.	G11	dist Spd cx	25	19	8	f
181.	G12 • P11	sen Smm d r prox dist + dSpd cx + dist Spd cx + dex Apd r dist med -- S(A)md r prox cvg	42	25	9	t
182.	G312	dist Spd cx + dex Smd cx	18	22	16	f
183.	G11	dist Spd cx	21	16	4	p
184.	G11 • T21	dist Spd cx • prox Apd r	20	15	4	t
185.	G11	dist Spd cx	16	15	5	p

			L	I	e	tal
186.	G311	dist Spd cx	14	18	11	f
187.	G11	dist Smd cx	17	17	5	p
188.	D325	sen dSpd cx cvg + dist dS(A)pd cx	30	24	17	—
189.	G11	dist Spd r (cx)	15	17	4	d
190.	G11	dist Spd cx	15	16	6	p
191.	G22	dist Smd cx dex + eSpd dist	24	23	10	f
192.	G11	dist S(A)md r	19	13	9	f
193.	G11	dist Smd cx	25	15	4	p
194.	G11	dist Spd cx	21	22	8	p
195.	G11	dist Smd cx	19	13	3	f
196.	G12	sen Spd r dist + dist Spd cx dex + Smmmd dist med	27	15	6	f
197.	G11	dist Sm(p)d cx	16	16	8	p
198.	A1	dist Amd cx	24	32	8	p
199.	G12	sen Smd r dist cvg + dist spd cx + dex Spd r dist cvg	14	18	8	c
200.	G21	bilat Spd cx dist cvg • Spd cx dist cvg	18	15	7	f
201.	G22	dist Spd cx + sen eSpd dist — Smd cx med	25	16	11	f
202.	G11	dist Spd cx	25	22	5	f
203.	G311	dist S(A)pd r	16	14	13	f
204.	G11	dist Spd cx	21	13	6	f
205.	G11 • G11	bitrans spd cx • Spd cx	27	11	7	t
206.	G12	sen Spd r med dist cvg + dist Spd cx	19	18	11	c
207.	G12	sen Smmmd cx med dist cvg + dist Spd cx + dex Smmmd r	18	16	6	f
208.	G11	dist Spd cx	15	23	6	d
209.	G21	sen Smmmd r (cx) cvg + dist Spd cx + dex Smmmd r dist med	20	17	13	f
210.	G11	dist Spd cx(r)	13	15	4	f
211.	G11	dist Smd cx	13	13	3	d
212.	G22	sen Smmmd r med + dist Spd cx + dex eSmd dist	20	12	6	f
213.	G11	dist Smd cx	13	16	7	f
214.	R23	dist S(P)pd cx + dex Spd cx cvg	29	21	8	f
215.	E1	bitrans Epi r • Epd r	28	17	6	t
216.	E1	dist Epi r + dex Epi r + prox Epi r	22	13	12	t
217.	E1	bitrans Epi r • Epi r	26	14	6	t
218.	E1	sen Epi r + dist Epi cc + prox Epi r	24	27	10	t
219.	E1	bitrans Emi r • Emi r	16	14	4	t
220.	E1	bitrans Emi r • Emi r	26	21	5	t
221.	E1	bitrans Ep(m)b r • Epi r	21	26	6	t
222.	E1	bitrans Emd r • Emi r	25	28	9	t
223.	B11	dist Bpn dex	44	36	26	p
224.	B32	sen Bpn med dist + dist Bpn sen	35	26	8	f
225.	B32 • B31	sen Bpn prox — Bpn dist • dex Bpn dist + prox Bpn	28	13	8	t
226.	B11	sen Bpn prox	44	29	15	p
227.	B32	sen Bpn prox med + prox Bpn	35	21	19	t
228.	B32	dist Bpn + dex Bpn dist med	28	25	16	p
229.	B11	dist Bpn	32	25	11	g
230.	B12	sen Bpn med dist	24	28	7	f
231.	B31	bilat Bmn dist • Bpn dist med	47	33	16	c
232.	B11	sen Bpn prox	19	12	4	f
233.	B21 • B22	sen Bpn prox med — Bpn med dist • dex eSmd dist cvg + prox Amd sen	29	25	11	t
234.	B11	dex Bpn dist med	28	18	9	f
235.	E3	sen Bpn prox med + prox Emb r	33	23	9	t
236.	B22	dist eSmd + Bpn dist med	26	12	3	a
237.	B32	sen Bpn med dist + dist Bpn sen	25	12	6	f
238.	B11	dex Bpn dist	45	16	9	u
239.	G12 • B11	sen eSmd dist cvg + dist Spd cx • prox Bpn	33	22	4	t
240.	G11 • B31	sen Bpn prox + dist Spd cx + dex Bpn prox	29	17	15	t
241.	G11 • B31	sen Bpn prox med + dist Spd cx + dex Bpn prox	31	20	13	t
242.	B32	sen Bpn med dist + dist Bpn sen	39	29	11	c
243.	B11	dex Bpn prox	30	24	7	f
244.	B11	dex Bpn dist med	35	23	11	l
245.	B11 • B32	bilat Bpn prox — Bpn med dist • Bpn dist	25	14	9	—
246.	B11 • G11	sen Bpn prox med + dist Spd cx	26	20	10	—
247.	B31	bilat Bpn prox med • Bpn prox	26	11	8	t
248.	B11	dex Bpn dist	17	8	2	f
249.	B22	dist Amd r + dex Bpn dist	29	19	10	p
250.	B32—B11	sen Bpn dist + dist Bpn sen -- Bpn dex	22	27	11	p

			L	I	e	tal
251.	B12	prox Bpn	25	29	14	f
252.	B411	sen S(P)pd r med — Bpn dist	33	20	9	f
253.	B22	sen Bpn med dist + dist Apd cc	23	24	9	p
254.	B12	sen Bpn med dist	23	15	10	p
255.	B11	dist Bpn	28	23	9	p
256.	B22	sen Bpn prox med + prox Apr r	11	14	9	t
257.	B12	sen Bpn dist	30	17	11	f
258.	B22	sen Bpn dist + dist eSpi	14	21	5	f
259.	B31	bilat Bpn med dist • Bpn dist	20	19	5	p
260.	B22	sen Bpn prox + prox Apd r	14	14	8	t
261.	B12	sen Bpn prox	23	17	4	f
262.	B32	sen Bmn dist + dist Bmn	22	12	5	f
263.	B431	sen Bpn dist • dex Bpn dist — Smd r med	16	15	4	f
264.	B32	dist Bpn + dex Bpn dist	17	23	9	p
265.	B21	sen eSpd med dist cvg • Bpn dist	22	22	9	f
266.	PD22	dex A(S)pd cx cvg	f 13	11	2	f
267.	T21	dist Apd cc	18	10	4	f
268.	T22	dist Apd cc div	27	14	4	f
269.	A2	dist Apd sin	14	15	6	f
270.	A1 — R11	sen Smd r div + dist Amd r + dex eSmd r dist - - eSmi med	23	21	5	f
271.	D13 (D11)	dist dS(A)md cx div	14	12	5	l
272.	T22	dist Apd r cvg	29	20	5	p
273.	A1	dist Amd r	19	14	8	p
274.	Tx22	dist Apd r dex cvg	15	8	2	f
275.	T22	dist Apd r (cc) div	14	11	6	p
276.	R22	dist S(A)pd r div	29	13	12	f
277.	A2	dist Apd r (cc)	30	19	11	f
278.	PD22	bilat S(A)md r prox med — Apd cx med dist cvg • Smd r dist med cvg	26	14	6	f
279.	PD23	sen Apd r prox div — Apd r (cx) med dist cvg	20	8	3	f
280.	PD23	sen Smmd r dist cvg • dex Apd r cvg	33	6	3	f
281.	PD23	sen Apd r	26	7	4	a
282.	(LD21)	dex Apd r	f 17	7	3	f
283.	PD23	dex Apd cc dist med — Apd cx med prox	26	10	5	f
284.	(LD21)	sen Apd r	f 11	7	3	f
285.	LD21	dex Apd r	23	9	3	u
286.	(LD21)	sen Apd r	f 8	7	2	f
287.	(LD21)	sen Apd r	f 13	6	3	f
288.	(LD21)	dex Apd r (cx)	f 8	4	2	f
289.	LD21	sen Apd r prox med — Smd r med dist	23	12	8	f
290.	Bc2	bilat Apd r dist cvg • S(A)pd r dist cvg	23	21	10	f
291.	Bc2	bilat Apd cc dist cvg • A(S)pi cx cvg	24	12	8	f
292.	Bc2	bilat Apd cc dist • Amd r dist cvg	16	10	3	f
293.	F314	bilat Pmd cx cvg • Pm(p)b cx cvg	22	11	4	t
294.	F14	bilat Ppi cx dist med cvg • Pmi cx dist med cvg	17	11	3	f
295.	F314	bilat Ppb r(cx) med — Ppb cx dist cvg • Ppb cx dist cvg — Ppd r	28	16	5	f
296.	F314	bilat Ppb prox med div — Ppb r med dist cvg • Ppb r dist med cvg — Ppb r med prox div	17	11	4	t
297.	F314	bilat Ppb cx cvg • Ppb cx cvg	19	11	4	f
298.	F11	sen Ppi cx	36	14	9	t
299.	BT32	bitrans Apd r cvg • Apd r div	24	12	3	t
300.	BT31	bitrans Apd r (cc) div • Apd r	12	11	2	t
301.	F324	dex P(S)pb cx	24	9	4	t
302.	F324	sen Ppb cx cvg	11	9	3	f
303.	P11	bilat S(A)md r med cvg • Smmd cx dist med cvg	34	26	5	u
304.	R23	sen Spi r dist div + dist Spi r + dex Smi r dist med div	26	32	6	a
305.	R21	sen Spd r cvg	26	16	5	p
306.	P11	dex Smmd r prox med — dSmd r med	57	9	4	u
307.	P21	bilat Spd r cvg • Spd cx cvg	54	27	12	p
308.	P21	bilat Smi r prox div — Spd r med dist cvg • Spd r cvg	28	20	5	f
309.	A2	sen Apd r med dist	35	29	8	p
310.	A1	sen Amd r + dist Amd r + dex Amd r + prox Amd r	11	10	5	t
311.	R21	dex Smb r dist cvg — Spd cx med prox	47	29	10	f
312.	A1	sen Amd r dist cvg	31	30	9	p
313.	D11	sen eSmmd div	11	13	4	a

			L	I	e
314.	R21	sen Spd r med dist cvg	41	28	9
315.	R11	sen Smd r dist cvg	33	23	8
316.	R21	sen Spd r med + eS(A)pd dist	30	16	6
317.	R21	dex Spi r	34	22	8
318.	R11	dex Smd r dist med div	34	24	12
319.	R23	dist Smd r cvg + dex Spd r(cc)cvg	47	31	16
320.	R21	sen Spi r cvg	30	24	12
321.	R11	dex Smmd r	20	14	4
322.	R21	sen Spi cx	40	27	15
323.	R21	dex Spd r dist med cvg — eSpd prox	31	24	6
324.	R21	sen Spd r	50	48	17
325.	R21	dex S(A)pd r dist med cvg — Spd cx med prox div	29	20	10
326.	R21	sen Spi r div	31	24	15
327.	R11	sen Smd r (cx) prox med	29	21	19
328.	R22	dist Spd r sen	26	20	11
329.	R11	dex Smd r med prox div	30	27	9
330.	R11 • R11	bilat Smd cx • S(A)md r	21	14	4
331.	R11	dex Smd r	24	14	8
332.	R21	dex Spd r	30	19	10
333.	R22	dist Spi r (cc)	28	21	10
334.	R11	sen Smd r(cx) div	13	14	3
335.	R21	dex Spd cx	23	10	3
336.	R21	sen Spd r prox div	32	15	9
337.	R21	dex Spi r div	27	27	10
338.	R21	sen Spd r	21	14	3
339.	R11	sen Smd r	27	17	5
340.	R321	sen Smi cx med -- Smd cx dist cvg	22	19	14
341.	R323	dist Spd r(cc) cvg + dex Spd r dist med cvg	25	21	12
342.	R21	sen Smd r prox med — Spd r med dist cvg • Spi r(cc) dist cvg -- Spd r med	17	17	6
343.	R11	sen Smd sin cvg	14	16	4
344.	R21	sen Spi r med div	16	21	8
345.	R21	sen Spi r med	15	15	4
346.	R21	sen Spi r med	22	13	5
347.	R11	sen Smi r	14	16	4
348.	R21	sen Spi r	10	15	5
349.	R11	dex Smi r	16	8	3
350.	R11 • R11	bilat Smi r div • Smd r(cx) div	18	12	4
351.	R11	sen Smd r prox div	22	8	5
352.	R21	dex Spi cx dist med cvg — Spd r med prox div	20	15	9
353.	R23	dex Spd r cvg + prox Spd r dex div — Spi r sen	13	21	6
354.	R21	sen Spi r(cx)	23	10	8
355.	R11	dex Smd r prox div	21	12	4
356.	R11	sen Smd r dist cvg	8	20	12
357.	R11 • R11	bilat Smmd r(cx) • Smd cx cvg	15	15	4
358.	R11	sen Smd r prox — Smd r med dist cvg	14	15	5
359.	R21	sen Spd cx dist cvg	19	11	6
360.	R11	sen Smd r dist cvg	22	12	8
361.	T11	dist Amd r	15	11	5
362.	R21	dex Spd r	17	15	6
363.	R11	sen Smd r	16	13	6
364.	R12	dist Smd r sen div	11	19	6
365.	R21	dex Spd r	14	9	7
366.	R11 (D13)	dex Smi cx(sin)cvg	51	28	12
367.	D323 • D321	sen dSpd med • dex eS(A)pd med	43	27	16
368.	D21	sen e(d)Spd med dist cvg	63	36	6
369.	D21	sen eSpd med div	25	24	13
370.	D323	sen dSpd med dist cvg — Smd r dist cvg — dSpd dist div	29	28	21
371.	D21	dex eSpd med prox — Smd cx prox	13	19	5
372.	D13 • D13	bilat dSm(p)d prox med • Smmd dist — dSm(p)d med	55	14	4
373.	R21 • R21	bilat S(P)pi r(cc) prox med • Spd cx med prox div	54	26	9
374.	D21 • D21	bilat eSpd med • e(d)Spd r	44	13	4
375.	D13	sen dSmd prox med div	30	12	5
376.	D22	sen eSpd prox — eSpd med dist • Smd r med prox	31	21	9
377.	D22	sen eSpd prox — eSpd dist	31	28	14
378.	R21	sen Spd cc div + eSmd dist	25	24	14

			L	I	e	tal
379.	R11	dex eSmd dist -- Smd r med prox	22	17	6	c
380.	D22	sen eSpd prox div — eSpd dist cvg	23	16	5	p
381.	B423	sen dSpd med + dist Bpn sen — Spd dist dex	24	36	16	f
382.	R321 • R321	bilat Spd cx med prox cvg • S(P)pi r med cvg	32	28	16	f
383.	D11	sen eSmd med	30	25	11	f
384.	D325	dex dSpd dist	24	35	16	c
385.	R21 • R21	bilat Spi sin • Spd r	35	22	11	u
386.	D21	dist eSpi + dex Spd med	32	31	11	f
387.	R21	dex Spd r prox med cvg	31	29	7	f
388.	D24	bilat dSpd dist cvg • eSpd dist cvg	30	18	7	f
389.	D21 • D21	bilat eSpd med • eSpd med dist	30	24	10	c
390.	D21 • D21	bilat eSpd dist + dist Smd r + eSpi dist	17	22	11	f
391.	P321	bilat Spd r prox med div — Spd r med dist cvg • Spd r dist med cvg — Spd r med prox div	29	30	13	f
392.	R21	dex Spi r med prox	22	29	7	f
393.	R21 • R21	bilat Spd r prox med — Spi r med dist div • Spd r div	23	23	8	p
394.	P11	bilat Smd r prox med -- eSmd dist • Smd r dist med — Smmi r med prox	42	11	6	p
395.	D21	sen eSpd — Smd r med dist cvg	35	20	11	f
396.	D11	sen eSmi r prox	22	15	5	f
397.	D11	dex eSmmid dist	17	11	6	f
398.	R11	sen Smd r(cc) cvg	31	32	8	f
399.	D13	dex dSmmid sin	25	9	3	a
400.	R11	sen Smmi sin prox med div	29	21	6	f
401.	R11	sen Smd r med dist cvg	21	17	5	c
402.	R21 (D23)	sen (d)Sp(m)d cx	22	18	12	f
403.	D11 + R21	dist eSmd + dex Spd r cvg	16	25	14	f
404.	D11	dex eSmd dist med	20	10	5	f
405.	R21	sen Spd r med dist cvg	19	18	5	f
406.	R11	sen Sm(p)i r (cx) med dist cvg	28	14	9	f
407.	D13	dex dSmmi sin	20	9	3	c
408.	R21	dex Spd r prox med cvg	24	17	13	f
409.	D11	dist eSm(p)i	24	30	11	f
410.	R11	dist eSmd + dex Smi r med prox	22	15	5	d
411.	R21 • D21	bitrans eSpd • Spi r	15	25	5	t
412.	D23 • D21	bilat dSp(m)d med div • eSpd med	28	15	4	f
413.	D21	sen eSpd med • Smd r(cx) dist med cvg	23	16	10	f
414.	R11	sen Smd r prox med div -- eSmd dist cvg	17	12	7	f
415.	D13	sen dSmd med	15	11	4	f
416.	D13	bilat (e)Sm(p)d sin • dSmd sin	13	13	4	f
417.	D21	dex eSpi med	20	13	5	f
418.	R11	sen Smmid r div	16	21	5	p
419.	R11	bilat (d)Smd r prox med — Smi sin med dist • Smmid r dist med — Smi r med prox	32	10	4	p
420.	D11	sen eSm(p)i div	16	17	8	f
421.	D13	bilat dSmd • dSmmid dist med	10	7	3	f
422.	D11	sen eSmmid	10	11	5	f
423.	G322	dist Smd r div — Smd cx — eSmmid dex	29	16	15	—
424.	G322	dist eSmd — Smd cx	29	21	19	—
425.	G311	dist Spd r	27	18	19	—
426.	R321	dex Spa cx	40	29	20	f
427.	G322	dist eSmd sen — Smd cx + eS(A)pd r dist med	29	23	19	—
428.	D321	dist eS(A)pd med prox	28	20	12	—
429.	R11	dex Smmid r	31	20	13	p
430.	Bc1	sen Spd r dist + dist Apd r div + S(A)pi dist cvg	28	21	10	g
431.	G11	dist Spd cx	30	17	2	f
432.	B12 • G12	sen Bpn prox + dist Spd cx + dex Spd r cvg	46	31	15	f
433.	G12	dist Spd cx + dex Smd cx cvg	25	21	8	p
434.	B11	dist Bpn	20	16	9	p
435.	LD21	sen Apd r	23	10	4	f
436.	G12	dex eSpd dist — Spd cx prox + S(A)pd r(cx)	36	24	10	t
437.	B23	dex Apd r + prox Bpn	27	33	10	t
438.	R21	dex Sp(m)a cx cvg	28	25	7	f
439.	G312 (G313)	sen Smd r prox med — Spd cx dist + dist Spd cx + dex Spd cx	23	22	13	f
440.	B32	sen Bpn med dist + dist Bpn	37	32	17	f
441.	R21	dex Spd cx div	26	24	6	f

			L	I	e	ta/
442.	R21	dex Sp(m)d cx	34	20	7	p
443.	R21	dex Spi sin	24	13	7	f
444.	F323	bilat Ppb r prox med — ePpb med div — Ppb r med dist cvg • Ppb r med dist cvg — ePpb med div — Ppb r med prox div	25	15	5	c
445.	G12	dist Spd cx + dex Smd r dist med cvg — Smd med prox div	10	12	14	p
446.	G11	dist Spd cx	8	16	8	f
447.	G11	dist Spd r(cx)	23	12	8	f
448.	G11	dist Spd cx	17	11	8	f
449.	B12	dex Bpn dist med	26	16	7	f
450.	G11 • G11	bitrans Spd cx • Spd cx	30	25	7	t
451.	R21 (D23)	sen (e)Spb sin	43	18	7	f
452.	R21	sen Spd r prox med div	28	25	9	u
453.	D23	dex dSpd	22	20	8	f
454.	B12	prox Bpn	23	20	8	t
455.	G12	sen Spd cx med prox cvg + dist Spd cx + dex Spd r	25	17	7	c
456.	R21	dex Spd cx	25	23	9	f
457.	G11	dist S(A)pd cx	31	14	10	u
458.	G12	dex Smm d r med prox + prox Spd cx	26	15	6	t
459.	G11	dist Spd cx	41	25	6	f

— Distribución estadística de Grupos y Tipos primarios.

En el Corral Blanc se recogió un total de 459 útiles, de entre los cuales 405 son monotipos, 53 son tipos dobles y 1 es triple, sumando un total de 514 tipos primarios, que se distribuyen del siguiente modo: *

RASPADORES	103	20 %
G11	49	9,53 %
G12	31	6,03 %
G21	3	0,58 %
G22	5	0,97 %
G311	4	0,78 %
G312	5	0,97 %
G322	6	1,16 %
DENTICULADOS	86	16,76 %
D11	20	3,90 %
D12	1	0,19 %
D13	17	3,30 %
D21	26	5,05 %
D22	5	0,97 %
D23	7	1,36 %
D24	2	0,40 %
D321	1	0,19 %
D323	2	0,40 %
D325	5	0,97 %
RAEDERAS	147	28,60 %
R11	67	13,03 %
R12	3	0,58 %
R21	63	12,25 %
R22	3	0,58 %

* Nuestro agradecimiento a Salvador Castellet por permitirnos estudiar su colección particular de este yacimiento, que junto con la depositada en el Servicio de Arqueología por los autores y la Dra. C. Olaria, han constituido el objeto de este trabajo.

R23	5	0,97 %
R321	5	0,97 %
R323	1	0,19 %
PUNTAS	13	2,53 %
P11	6	1,16 %
P21	6	1,16 %
P321	1	0,19 %
ABRUPTOS INDIFERENCIADOS	10	2 %
A1	6	1,16 %
A2	4	0,78 %
TRUNCADURAS	11	2,14 %
T11	2	0,40 %
T12	1	0,19 %
T21	4	0,78 %
T22	3	0,58 %
Tx22	1	0,19 %
PERFORADORES	4	0,78 %
Bc1	1	0,19 %
Bc2	3	0,58 %
LAMINAS DE DORSO	14	2,72 %
LD21	9	1,75 %
f Δ	5	0,97 %
PUNTAS DE DORSO	12	2,33 %
PD21	1	0,19 %
PD22	2	0,40 %
PD23	7	1,36 %
PD34	2	0,40 %
BIPUNTAS DE DORSO	1	0,19 %
BPD21	1	0,19 %
BITRUNCADURAS	4	0,78 %
BT1	1	0,19 %
BT22	1	0,19 %
BT31	1	0,19 %
BT32	1	0,19 %
FOLIACEOS	22	4,28 %
F11	2	0,40 %
F14	2	0,40 %
F313	1	0,19 %
F314	9	1,75 %
F315	3	0,58 %
F323	3	0,58 %
F324	2	0,40 %
ASTILLADOS	15	3 %
E1	14	2,72 %
E3	1	0,19 %

BURILES	72	14 %
B11	21	4,08 %
B12	10	2 %
B21	5	0,97 %
B22	10	2 %
B23	1	0,19 %
B31	7	1,36 %
B32	13	2,53 %
B411	1	0,19 %
B423	1	0,19 %
B431	3	0,58 %

— Análisis tipométrico.

El análisis del material estudiado se ha basado en la aplicación de la metodología propugnada por LAPLACE, según los índices de alargamiento, de carenado, geométrico de carenado, y módulo geométrico;² hemos desestimado los gráficos de nubes de puntos de BAGOLINI,³ puesto que consideramos que en los mismos no se refleja en absoluto el espesor de los útiles analizados.

A continuación pasaremos a describir cada uno de los índices correspondientes de los Grupos, englobados a su vez en sus correspondientes Ordenes.

— Orden de los Simples.

	<i>la</i>	<i>lc</i>	<i>lgc</i>	<i>Mg</i>
G	1.288	2.697	3	20,58
R	1.436	2.710	3.138	21,78
D	1.436	2.717	3.188	21,26
P	2.232	2.976	4.122	23,73

Se trata pues de una industria corta, estrecha y plana, salvo el conjunto de las puntas, las cuales son largas, anchas y planas. Hemos de indicar que las puntas son también los útiles de mayor tamaño, en contraposición a los raspadores que son de menor dimensión.

— Orden de los Abruptos.

	<i>la</i>	<i>lc</i>	<i>lgc</i>	<i>Mg</i>
A	1.062	3.713	3.636	20,20
T	1.379	3.295	3.762	14,30
Bc	1.507	2.258	2.740	18,96
LD	2.310	2.135	3.200	11,23
PD	2.800	2.646	4.113	15,75
BPD	2.181	3.666	5.416	16,24
BT	1.517	4.500	5.448	14,60

Los abruptos indiferenciados, truncaduras, perforadores y bitruncaduras presentan una tipometría de dimensiones cortas, estrechas y planas. Dentro de todos estos, los abruptos indiferenciados poseen un mayor tamaño, a la vez que las truncaduras representan los útiles más pequeños.

2. G. LAPLACE, *Notes de typologie analytique. Orientation de l'Objet et rectangle minimal*, en *Dialektiké*, pág. 32-53, Coaraze, 1977.

3. B. BAGOLINI, *Ricerca sulle dimensioni dei manufatti litici preistorici no ritocati*, en *Annales dell'Università de Ferrara*, Ferrara, 1968.

Láminas, puntas y bipuntas de dorso muestran una tipometría larga y ancha en las láminas de dorso y bipuntas, y estrecha en las puntas de dorso, estas últimas son asimismo planas, al igual que las bipuntas, mientras que las láminas de dorso son claramente carenoides.

— Orden de los Buriles.

	<i>la</i>	<i>lc</i>	<i>lgc</i>	<i>Mg</i>
B	1.407	2.480	2.840	24,08

Como se puede apreciar, se trata pues de un conjunto industrial con una tipometría corta, estrecha y plana.

— Orden de los Astillados.

	<i>la</i>	<i>lc</i>	<i>lgc</i>	<i>Mg</i>
E	1.385	2.760	3	22,60

Una vez más, estos útiles representan una industria corta, estrecha y plana.

— Orden de los Planos.

	<i>la</i>	<i>lc</i>	<i>lgc</i>	<i>Mg</i>
F	1.537	2.793	3.372	18,31

Nuevamente estas piezas constituyen un conjunto industrial corto, estrecho y plano.

— Análisis de la industria lítica retocada.

El análisis del material retocado a nivel de Ordenes, presenta una dinámica estructural caracterizada por un predominio altamente significativo de los Simples, los cuales constituyen asimismo, el orden dominante.

La secuencia estructural queda establecida del siguiente modo: S///B,A///P,E, apreciándose, además de la significativa presencia de los Simples, la existencia de otros dos grupos de órdenes altamente distanciados entre sí. El primero de ellos, estaría constituido por Buriles y Abruptos (Fig. n.º 2).

Por lo general, entre los yacimientos de la zona, las piezas con retoque abrupto son las que adquieren mayor presencia, con respecto a los buriles, sin embargo en el yacimiento del Corral Blanc, se observa una dinámica contraria, motivada por el fuerte descenso cuantitativo de las piezas con retoque abrupto; así, por ejemplo, en el yacimiento de El Pla de la Pitja, los buriles alcanzan el 18,5 % y los retoques abruptos el 24,4 %, destacando entre estos últimos, los útiles de dorso con el 18,8 %; por el contrario, en el yacimiento de el Corral Blanc, los buriles poseen el 14 % y entre ellos, las piezas con dorso, el 5 %.

Respecto a los grupos tipológicos, hemos de señalar que la dinámica estructural viene a confirmar la secuencia expuesta a nivel de órdenes:

R///G,D,B///F,E,LD,P,PD,T,A/BT = Bc,BPD.

Existen en el Corral Blanc cuatro grupos dominantes (R,G,D,B), tres de los cuales pertenecen al orden de los Simples y Sobreelevados. Entre los grupos mencionados, las raederas son el conjunto más representado, con un porcentaje superior al 28 %, y cuantitativamente, presentan una ruptura altamente significativa con respecto al resto de los grupos (Fig. n.º 3).

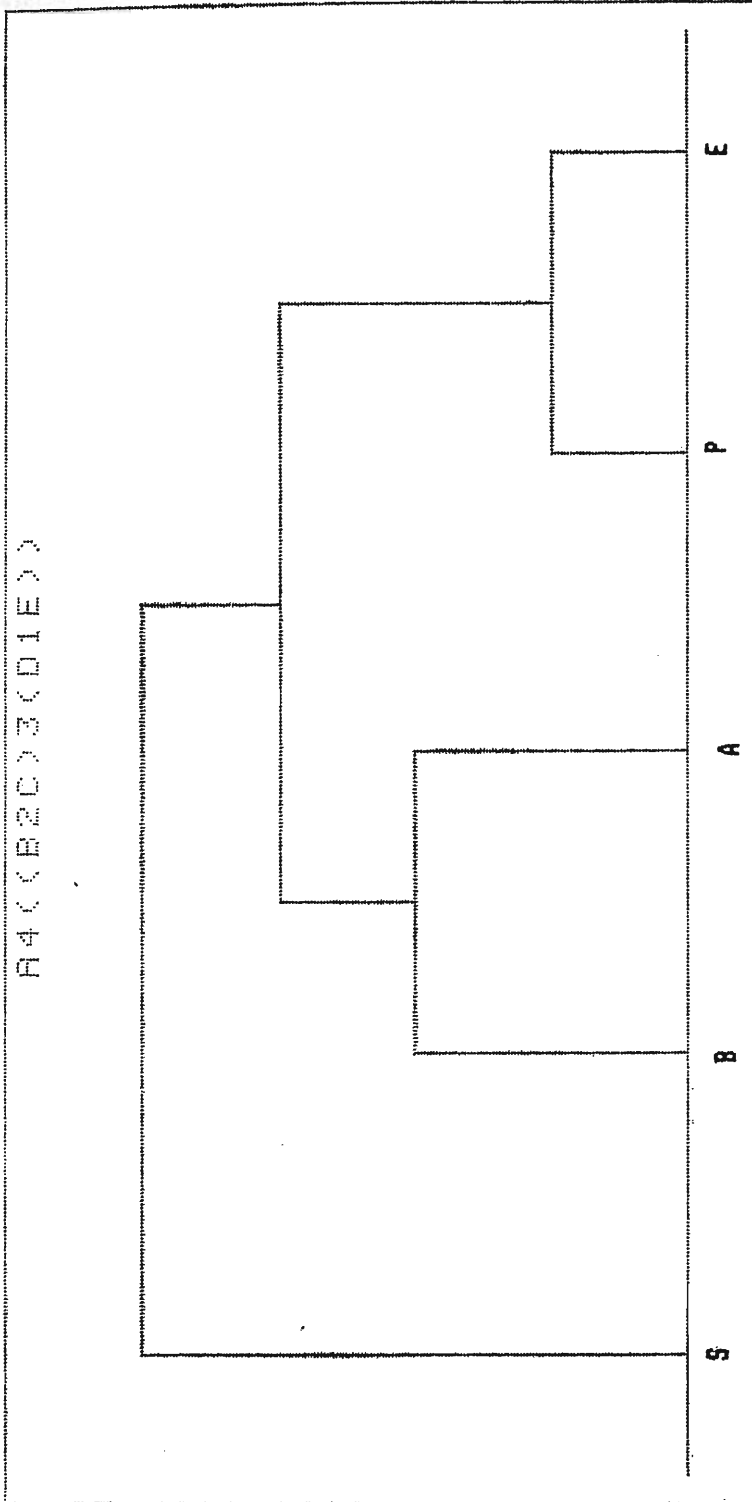


Figura 2. CORRAL BLANC, Resultados de X2 para los Ordenes

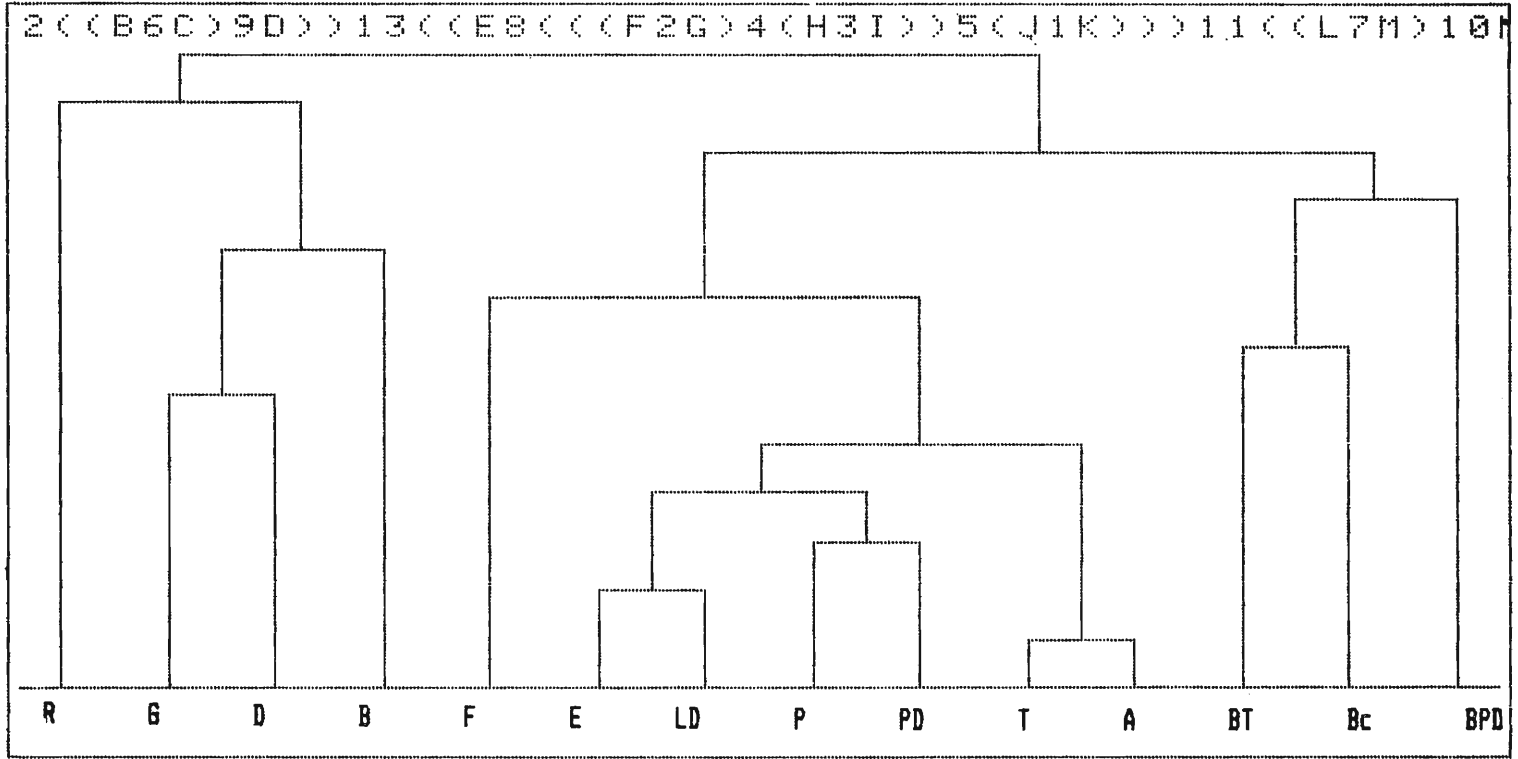


Figura 3. CORRAL BLANC, Resultados de X2 para los Grupos

Entre los que podríamos considerar grupos no dominantes, se establece también una dualidad en dos conjuntos, el primero de ellos compuesto por los grupos más representativos (F,E,LD,P,PD,T,A) y el segundo por aquellos cuyo porcentaje es inferior al 1 % (BT,Bc, BPD),

Si analizamos por separado cada uno de los grupos tipológicos mencionados, podremos ver cómo se articulan a nivel interno; de este modo, con un 28,65 % las raederas son el grupo mejor representado, entre las cuales dominan ampliamente las laterales (R11,R21 y R321) con el 26,8 %, por encima de las raederas transversales y latero-transversales, que en ambos casos alcanzan un 1,17 %.

Si atendemos a la profundidad del retoque, constatamos que a pesar de que existe un ligero predominio de las ipezas con retoques profundos (15 %), son también muy abundantes las piezas con retoques marginales (13,6 %) (Fig. 4, n.º 10-21 y Fig. 5, núms. 1, 2 y 4).

El grupo de los raspadores alcanza en su conjunto el 20 % de frecuencia, siendo mayoritariamente piezas en extremo de lasca o lámina, con o sin retoques laterales (G11,G12); los raspadores ojivales (G21) apenas superan el 0,5 % y los de hombrera u hocico (G22 y G322) alcanzan el 2,14 % (Fig. 5, n.º 9-30 y Fig. 6, n.º 16-19).

Existen un buen número de piezas compuestas, entre las que figuran algunos raspadores, siendo bastante abundantes los raspadores-buriles (6 piezas) (Fig. 5, n.º 27, y Fig. 6, n.º 16-19), y en menor medida el raspador doble (3 piezas) (Fig. 5, n.º 17, 21); el raspador-punta (2 piezas) (Fig. 5, n.º 13 y Fig. 7, n.º 2), y el raspador-truncadura (1 pieza) (Fig. 5, n.º 22)

Los útiles denticulados o con muesca, representan un grupo muy a tener en cuenta dentro del contexto de la industria lítica, alcanzando un porcentaje del 16,76 %, destacando en mayor medida las muescas (9 %) y los denticulados (5 %), con respecto a las espinas (1,16 %), puntas denticuladas (0,4 %) y los raspadores denticulados (0,97 %) (Fig. 4, n.º 1-9).

Entre las piezas con muesca domina el retoque profundo (5,24 %) sobre el marginal (3,9 %), mientras que en los denticulados ocurre todo lo contrario, 3,3 % el marginal y 1,75 % el profundo.

Entre los denticulados se determinan algunas piezas de clara filiación epipaleolítica y neolítica. Se trata de las láminas con doble muesca o denticulados opuestos, formando estrangulamiento en su parte medial; estos útiles se constatan desde las fases más antiguas del Epipaleolítico geométrico, cuya perduración llega hasta las fases más recientes, con una cronología que alcanzaría el estadio Neolítico e incluso también Eneolítico (Fig. 4, n.º 3, 4, 9).

Por su parte, las puntas, aunque únicamente suponen el 2,53 % respecto del total del conjunto, se hallan bien representadas si comparamos su porcentaje con el de yacimientos vecinos. (Fig. 5, n.º 5-8).

Debemos añadir que se han recogido piezas muy bien elaboradas, y además es frecuente encontrarlas asociadas a raspadores y buriles.

Los buriles constituyen, a nivel de órdenes, el segundo grupo en importancia con una buena representación porcentual (14 %).

Morfológicamente los Planos (6,2 %) y los diedros (4,47 %) son las dos clases mejor representadas, siempre porcentualmente por encima de los buriles fabricados sobre retoque (3,3 %).

Respecto a las piezas con retoque abrupto, debemos señalar que las truncaduras alcanzan el 2,14 %, con retoques mayoritariamente profundos, al igual que ocurre con los abruptos indiferenciados.

Los perforadores son cuantitativamente escasos en todo el conjunto estudiado, al igual que ocurre con las bitruncaduras.

Entre los útiles de dorso, las láminas alcanzan el 2,73 % y las puntas el 2,33 %, situándose ambas muy por debajo de lo que ocurre en otros yacimientos próximos,

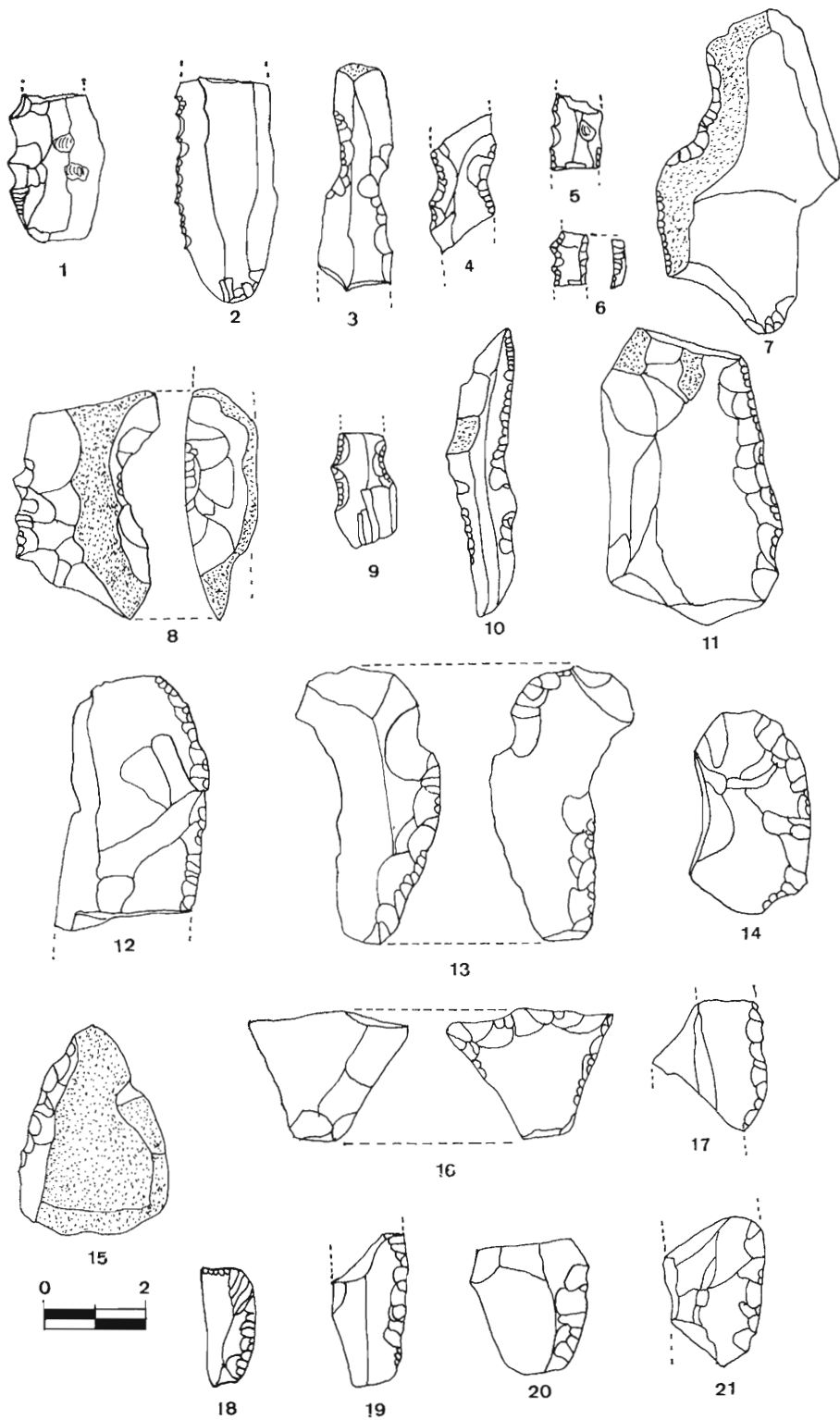


Fig. 4. Material lítico de El Corral Blanc

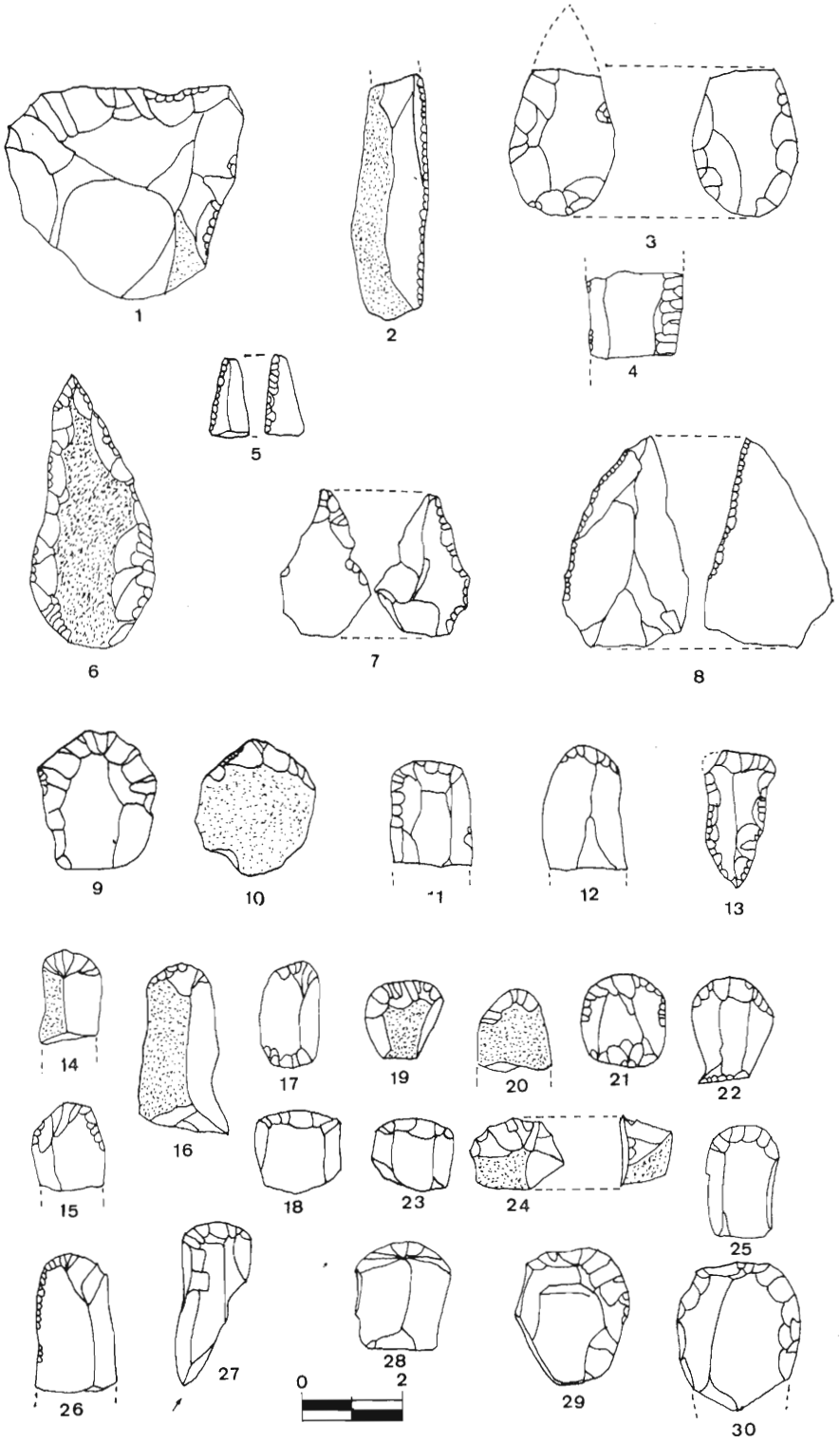


Fig. 5. Material lítico de El Corral Blanc

como por ejemplo en el asentamiento del Pla de la Pitja.⁴ Tipológicamente se trata de dorsos rectos, por lo general unilaterales; entre estos destacan tipológicamente dos puntas escotadas con dorso (PD34).

Mención aparte merece el grupo de los foliáceos que alcanzan el 4,28 % de frecuencia, incluyéndose entre ellos un segmento y un fragmento de segmento en doble bisel. Aparte de estos útiles mencionados los foliáceos suelen estar representados por puntas de pedúnculo y aletas, aletas incipientes, ojivales y romboidales, de clara filiación neolítica e incluso eneolítica, acompañadas de auténticas "hojas de Sauce y de Laurel", aparentemente de cronología más antigua.

Consideraciones finales y valoración crono-cultural.

Nos parece evidente, una vez analizada la industria lítica del yacimiento del Corral Blanc, la existencia de por lo menos dos fases cronoculturales distintas, puesto que la mezcolanza de útiles, visible incluso en el propio yacimiento, así parece indicarlo. Ello ha dificultado en gran medida el análisis tipológico estadístico de los materiales estudiados, puesto que, evidentemente, no se trata de una contaminación casual sin importancia, ya que ambos conjuntos líticos se hallan ampliamente representados, lo cual ha distorsionado en parte la comparación cuantitativa con otros yacimientos.

En conjunto, podemos afirmar que la industria del Corral Blanc se caracteriza por el amplio predominio de las piezas con retoque simple, especialmente las raederas (28,6 %), muchas de ellas marginales. Los raspadores (20 %) son útiles muy bien representados, superando porcentualmente a los buriles, los cuales también alcanzan un porcentaje muy elevado (14 %), el cual en ningún caso parece corresponderse con los que son habituales en yacimientos postpaleolíticos; su tipología, con predominio de buriles planos y diedros, parece a su vez indicar el carácter paleolítico de una buena parte de la industria recogida. La relación buril/raspador alcanza un índice de 0,699 %, próximo al existente en las fases solutreo-gravetenses de Parpalló⁵ y probablemente del Pla de la Pitja.

Los útiles con dorso, curiosamente presentan porcentajes muy bajos, alejándose por tanto de los conjuntos industriales del Paleolítico Superior final, aunque el cercano yacimiento de Cova Matutano,⁶ —situado tan sólo a cinco kilómetros en línea recta, con una rica secuencia estratigráfica que abarca desde el Magdaleniense medio final hasta una etapa claramente Epimagdaleniense—, presenta una industria con un bajo porcentaje de piezas de dorso, fluctuante entre el 4,4 % en el nivel IIC y el 12,3 % en el IIA; no sobrepasando por lo general el 8 % en toda la secuencia estudiada.

Cabe reseñar, por otra parte, la presencia significativa de dos puntas escotadas de dorso en el Corral Blanc (Fig. 8, n.º 8).

Los grupos más problemáticos son sin duda alguna los foliáceos y los geométricos que en nuestro estudio hemos considerado como bitruncaduras y bipuntas de dorso. Entre los útiles con retoque plano, tal y como hemos indicado previamente en este estudio, se constatan dos segmentos con retoque plano en doble bisel (Fig. 8, n.º 22 y 24). Dicho retoque es característico de la fase IV del Epipaleolítico Geométrico de la Cueva de la Cocina, en donde se superpone cronológicamente a los geométricos con retoque abrupto; por otra parte, también se ha constatado la presencia de geométricos con dicho

4. J. CASABO, M.ª L. ROVIRA, *El yacimiento Epimagdaleniense al aire libre del Pla de la Pitja (La Pobla Tornesa, Castelló)*, en Cuadernos de Prehistoria y Arqueología Castellonenses, n.º 9, págs. 7-34. Castellón, 1982-83.

5. J. M.ª FULLOLA PERICOT, *Las Industrias Líticas del Paleolítico Superior Ibérico*, en Trabajos Varios de Servicio de Investigación Prehistórica n.º 60. Valencia, 1979.

6. C. OLARIA, F. GUSI, J. ESTEVEZ, J. CASABO, M.ª L. ROVIRA, *El yacimiento Magdaleniense de Cova Matutano (Villafamés, Castellón). Estudio del sondeo estratigráfico 1979*, en Cuadernos de Prehistoria y Arqueología Castellonenses n.º 8, págs. 21-100. Castellón, 1981.

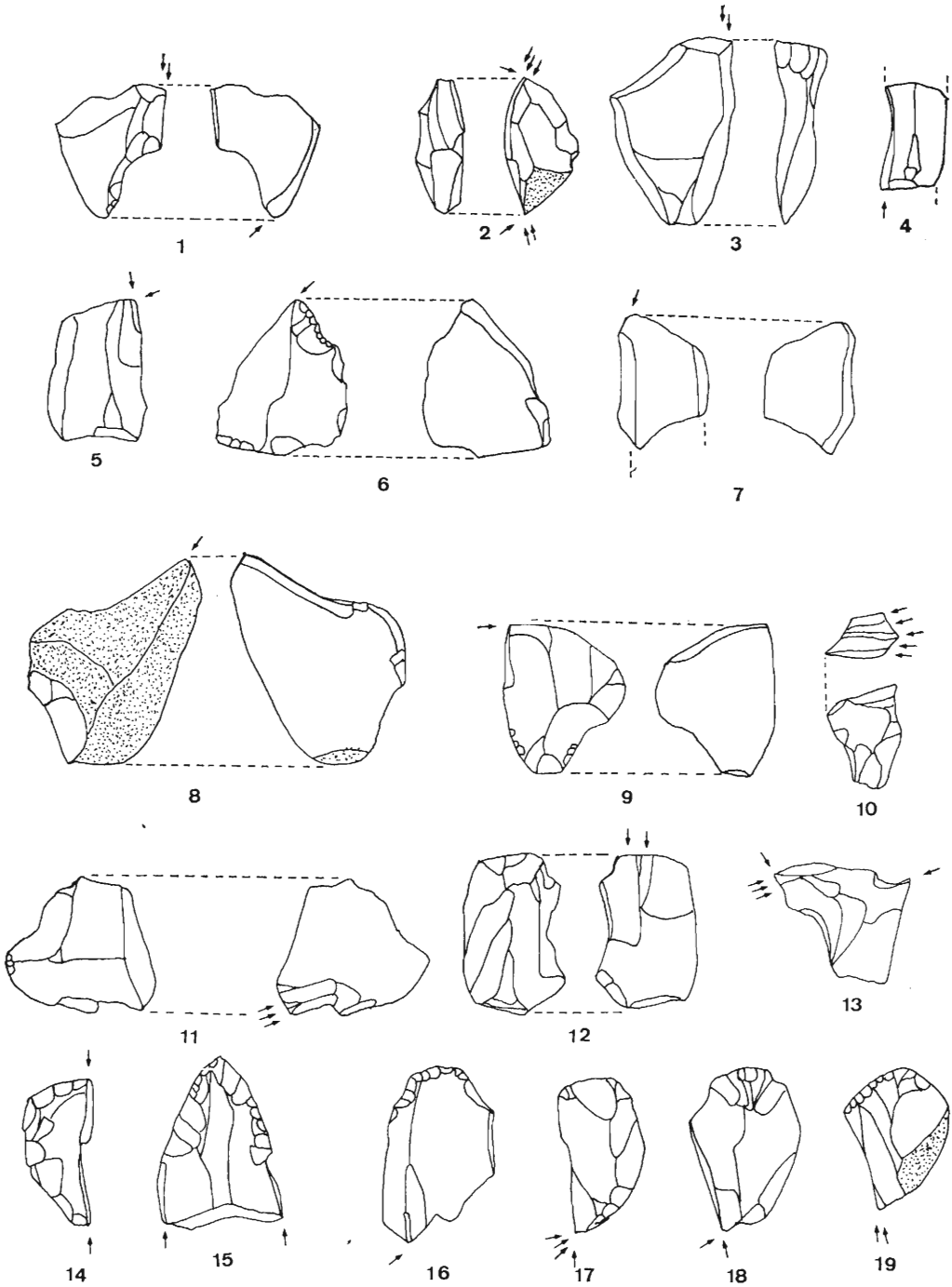


Fig. 6. Material lítico de El Corral Blanc

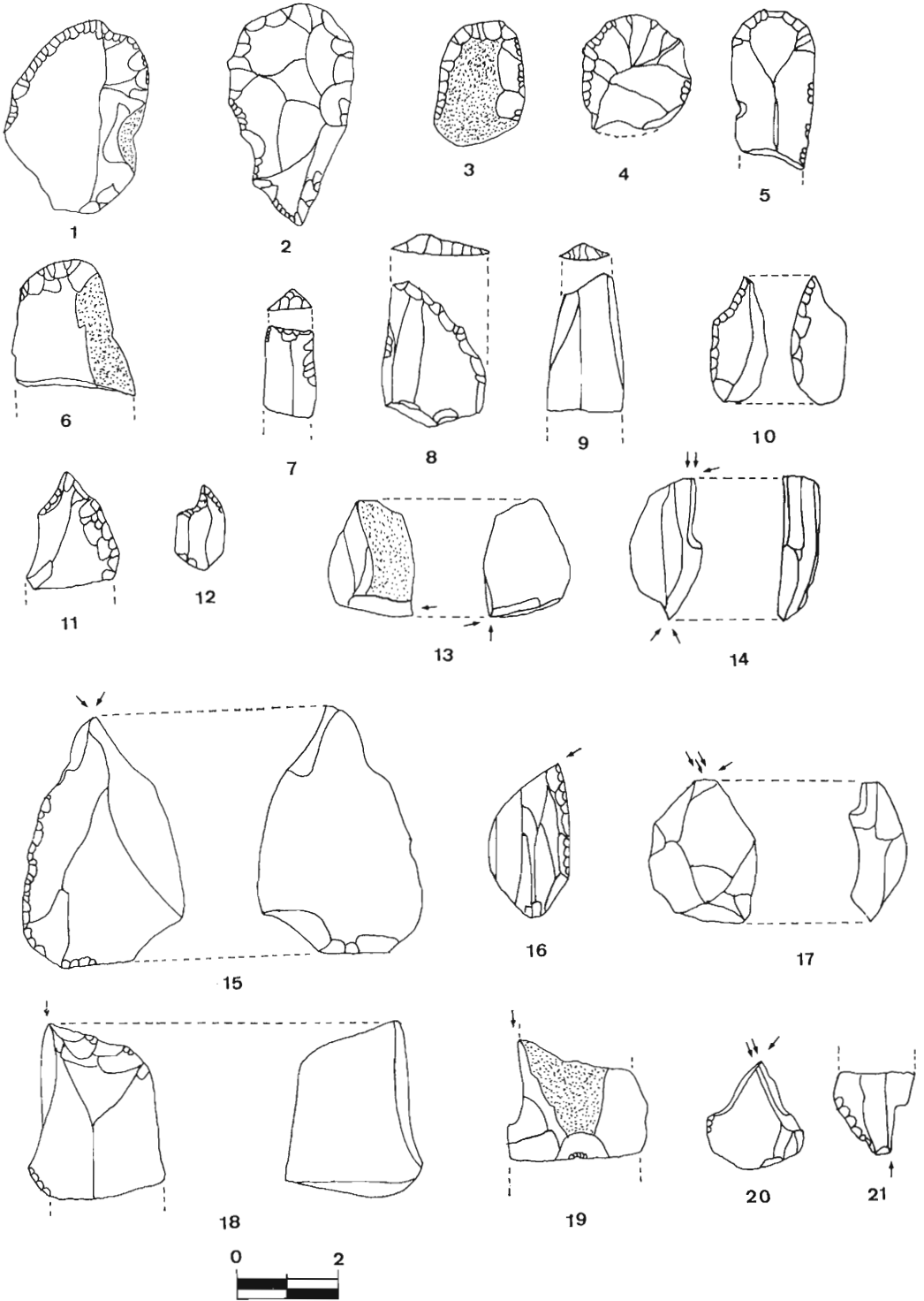


Fig. 7. Material lítico de El Corral Blanc

retoque en los yacimientos bajoaragoneses de la Botiquería del Moros⁷ y Costalena,⁸ correspondientes a los momentos iniciales del Epipaleolítico Geométrico de esta zona. Sin embargo, la asociación del retoque plano en doble bisel con un soporte segmentiforme únicamente se da en un período claramente evolucionado, cuya cronología abarcaría desde el Neolítico hasta el Eneolítico.

Las restantes piezas foliáceas asociadas en nuestro caso a útiles geométricos, pueden situarse también grosso modo dentro de un período Neo-Eneolítico, salvo quizás las piezas números 25, 27, 32 de la figura 8, y número 3 de la figura 5, las cuales parecen asemejarse a útiles de morfología más arcaica.

Con respecto a los útiles geométricos con retoque abrupto, la única pieza biapuntada recogida, es una bipunta triangular con retoque abrupto (Figura 8, n.º 16).

Las bitruncaduras únicamente están representadas por cuatro piezas, dos de ellas trapezoidales y las otras dos restantes, una triangular y la otra segmentiforme (Fig. 8, números 15, 17, 18, 21).

La valoración pues, que podemos establecer respecto a la evolución crono-cultural del yacimiento del Corral Blanc nos viene en buena medida determinada por los rasgos morfológicos de una industria tipológicamente ambivalente, asociada a elementos paleolíticos y también a otros Neo-Eneolíticos. A partir de ellos, se desprende la probable existencia de al menos dos fases distintas de ocupación temporal; las más evolucionada vendría señalada por piezas "geométricas", algunos foliáceos, ciertas láminas denticuladas con retoques marginales, y otras con estrangulaciones mediales obtenidas mediante dos muescas opuestas; cabe mencionar también la presencia de un único "microburil" (Fig. 8, n.º 23). Estos materiales de filiación cronológica reciente, se situarían dentro del contexto cultural general de asentamientos al aire libre, cuya vida transcurrió a lo largo de los períodos Suboreal y Atlántico, quizás por causa de unas óptimas condiciones medioambientales que facilitarían en las zonas litorales y prelitorales una abundante explotación de recursos económicos. Concretamente en la zona que nos ocupa se ha llegado a localizar por el momento un mínimo de 10 asentamientos pertenecientes a estos períodos concretos mencionados, dentro de un ámbito territorial aproximado de 100 Km.².

Con respecto a la fase más antigua del Corral Blanc, creemos que sin duda corresponde a un período paleolítico por el momento indeterminable, pero que posee unos rasgos tecnoculturales muy posiblemente relacionados con las fases más evolucionadas Solutreogravetienses; sin embargo, dada la heterogeneidad del conjunto lítico estudiado, es problemática la atribución de la fase antigua de este yacimiento a cualquier momento concreto del Paleolítico Superior. Ciertos elementos, como las piezas foliáceas representadas en la figura 8 números 25, 27, 32, las puntas escotadas que se muestran en la figura 8 número 8, así como la relación raspador buril, favorable a los primeros, junto con una buena representación porcentual y tipológica de los buriles, fundamentalmente diedros y planos aconsejan en principio, y a modo de hipótesis previa de trabajo, considerar estas piezas como pertenecientes a un momento indeterminado del Solutreogravetiense final, relacionadas con las del vecino asentamiento del Pla de la Pitja, el cual en nuestra opinión parece adscribirse también al Solutreogravetiense.

Sin embargo, la escasa representación porcentual de los dorsos se halla en oposición a lo que es frecuente en las industrias del mencionado período, aunque la explicación a este hecho puede estar relacionada con una distinta frecuencia en el uso de ciertos útiles que en otros asentamientos contemporáneos fueron más frecuentes, al igual que sucede en el yacimiento Magdaleniense de Cova Matutano,⁹ que ya desde los niveles más antiguos presenta una carencia significativa de dorsos.

7. I. BARANDIARAN, *El abrigo de la Botiquería dels Moros, Mazaleón (Teruel). Excavaciones arqueológicas de 1974*, en Cuadernos de Prehistoria y Arqueología Castellonense n.º 5, págs. 49-142. Castellón, 1978.

8. I. BARANDIARAN, A. CAVA, *Las industrias líticas del Epipaleolítico y del Neolítico en el Bajo Aragón*, en Bajo Aragón Prehistoria n.º V, págs. 49-85. Caspe, 1985.

9. OLARIA, GUSI, ESTEVEZ, CASABO, ROVIRA, *El yacimiento Magdaleniense de...*, citado, pág. 39.

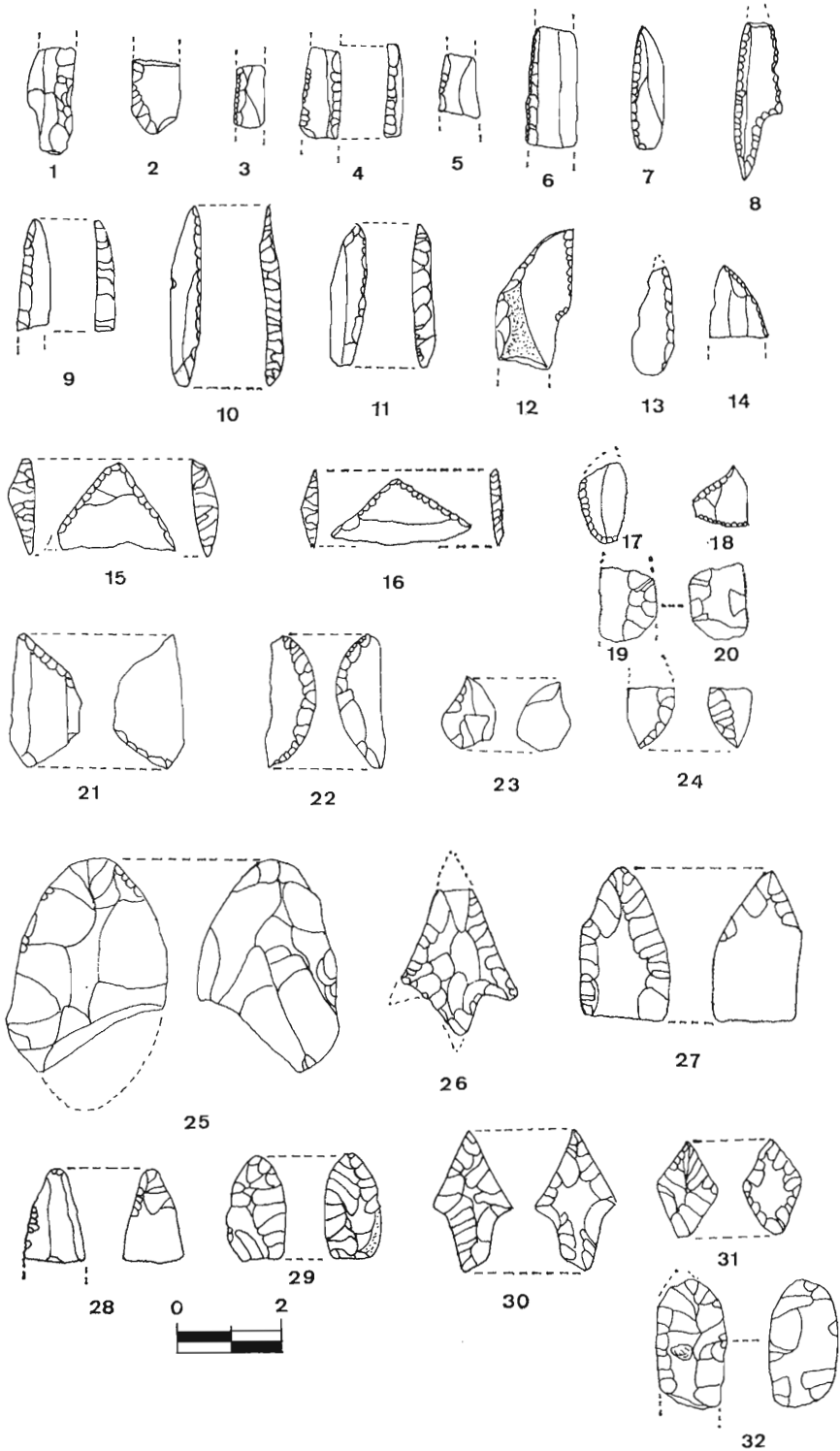


Fig. 8. Material lítico de El Corral Blanc

Tanto Cova Matutano como el Corral Blanc son ejemplos puntuales de la significativa ausencia de dorsos dentro de sus respectivos conjuntos líticos, aunque obviamente no existe ninguna otra relación concomitante entre ambos yacimientos, únicamente los mencionamos, a título de la específica carencia de un determinado tipo de utillaje, puesto que como ya hemos dicho corresponden a dos tecnocomplejos culturales distintos.

Una segunda alternativa a tener en cuenta, vendría determinada por la hipotética pertenencia del Corral Blanc a un momento algo más evolucionado, posiblemente dentro de la fase Magdalenizante que Fullola apunta para la Cova del Parpalló.¹⁰ Algunos elementos dejan entrever dicha posibilidad, tales como la escasa presencia de foliáceos de aspectos Solutrense, y puntas escotadas, sin embargo, por el contrario, si sopesamos globalmente la industria del Corral Blanc, tendremos que desechar en principio dicha relación, dado el bajo índice porcentual de raspadores y buriles, que en la Cova del Parpalló duplican prácticamente a los contabilizados en el Corral Blanc.

En resumen pues, constatamos en nuestro yacimiento dos ocupaciones, la más reciente relacionada con el Neolítico-Eneolítico sin uso constatado de cerámica, enmascarando un anterior asentamiento Paleolítico, el cual, con lógicas reservas puede situarse en nuestra opinión entre una fase Solutreogravetiense final y un momento Magdalenizante.

Par la resolución de la compleja problemática que plantean los asentamientos al aire libre con industrias líticas, en algunos casos sería muy conveniente realizar sondeos estratigráficos que pudiesen aportar, en lo posible, nuevos datos arqueológicos, que la simple recogida superficial de los mismos no proporciona, y así obtener una mayor claridad en el modo de evolución de estas ocupaciones, así como, intentar aislar conjuntos culturales que de otro modo se nos presentan en ocasiones entremezclados y por tanto difícilmente reconocibles, como es en este caso El Corral Blanc.

Igualmente, el estudio de los yacimientos al aire libre puede proporcionar elementos de juicio que muchas veces complementan las secuencias estratigráficas de los yacimientos en cuevas ya que además muy a menudo son más frecuentes aquellos, como ocurre en la zona prelitoral del Pla de Vilafamés-Cabanes y zona litoral de la Plana.

10. FULLOLA PERICOT, *Las industrias líticas del...*, citado, pág. 231.